

245.- Niveles de calcoesquistos en las Capas de Tránsito (CA_1P_2) con esquistosidad primaria subvertical. Flanco normal del sinclinal de Baralla.



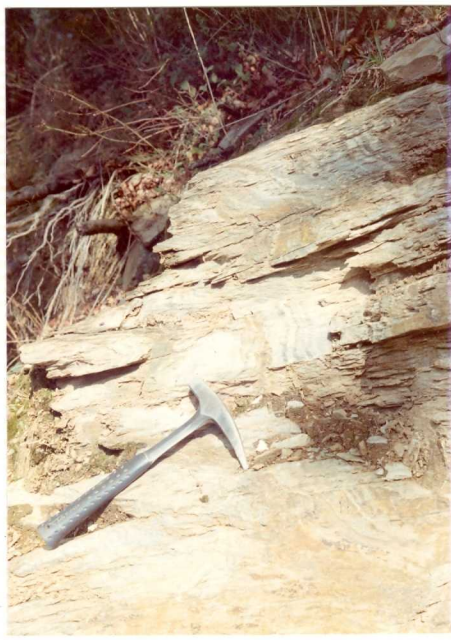


256.- Kink-bands suaves en las Pizarras de Candana (CA_1P_1).

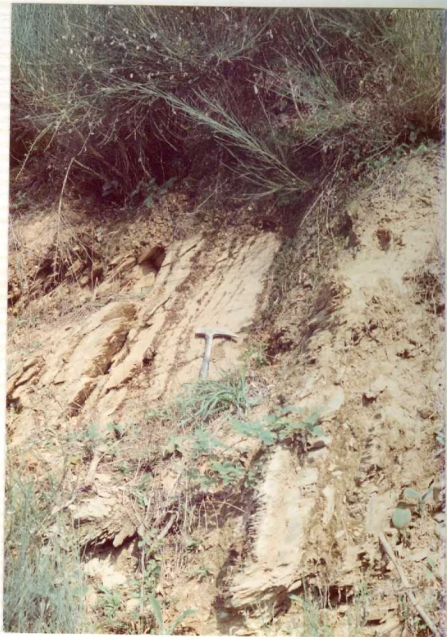


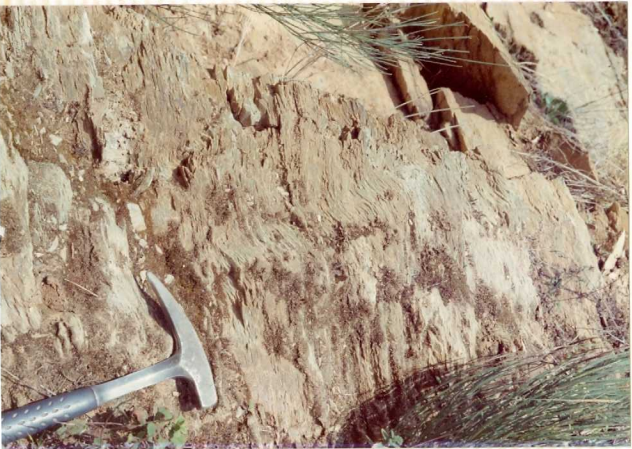
257.- Esquistosidad primaria y estratificación oblicua, en las Pizarras de Candana. (CA_1p_1). Flanco normal.

258.- Charnela de un pliegue de fase 1 en calcoesquistos inferiores a la Caliza de Candana. Obsérvese la esquistosidad perpendicular a la estratificación.



259.- Caso similar al anterior.





260.-- Kink-bands en los calcoesquitos inferiores a la Caliza de Candana.



261.- Kink-bands irregulares en dos sistemas oblicuos en las Pizarras de Candana (CA_1P_1).



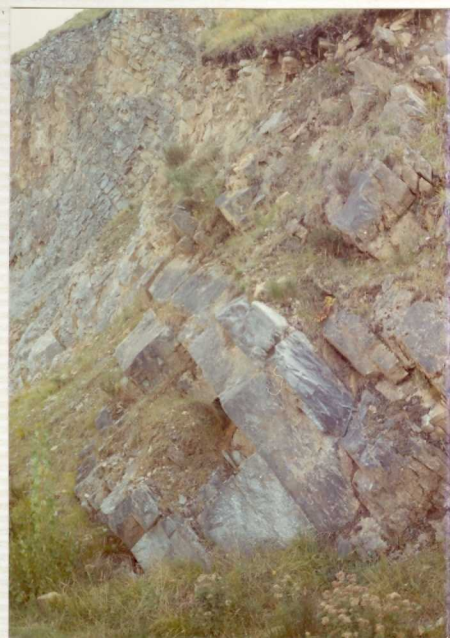
271.- Idem anterior. Observese la estratificación vertical y la esquistosidad primaria horizontal (S_1).



272.- Pliegues de fase 1 en la Cuarcita de Candana inferior (CA_1q_1). Flanco inverso del sinclinal de Baralla.



273.- Pliegues de fase 1 en la Cuarcita de
Candana inferior (CA_1q_1). Flanco inver
so del sinclinal de Baralla.
(Visión estereoscópica).



276.- Esquistosidad oblicua a la estratificación en la Caliza de Candana. (CA₁c). Flanco inverso del Sinclinal de Baralla.



277.- Crestones de Cuarcita de Candana superior (CA_1q_2) desplazados por una falla.



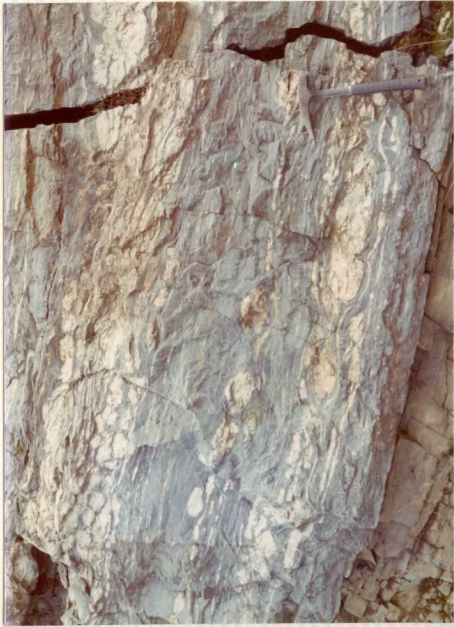
281.- Esquistosidad primaria obliqua a la estratificación en niveles cuarcíticos de la parte alta de la Serie de Villalba (PC ξ + ξ A).



289.- Micropliegues de tipo "chevron" en la Caliza de Candana (CA₁c).



290.- Kink-band en la Caliza de Canda
na (CA_1c).



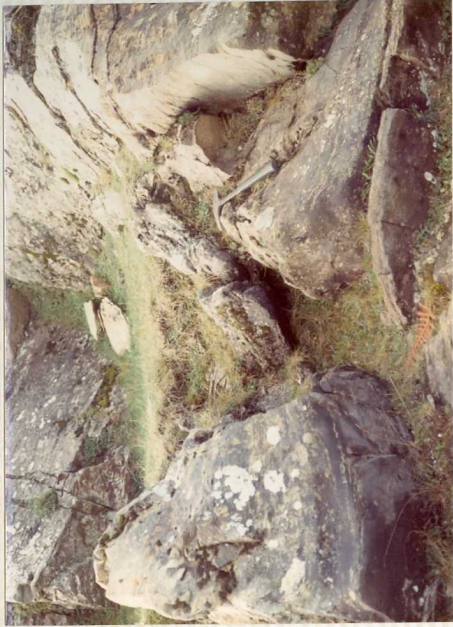
291.- Niveles de calcita boudinados
en la Caliza de Candana (CA_{1c})



299.- Niveles cuarcíticos boudina-
dos en la cuarcita ordovíci-
ca (0_{12}^2).



305.- Sinclinal tumbado marcado por
la cuarcita ordovícica (O_2^{12}),
afectado por una falla normal.
Labio izquierdo hundido.



316.- Boudin en la Caliza de Vega-
deo (CA_{1-2c}).



320.- Boudines en nivel cuarcítico.
Cuarcita de Candana inferior
(CA₁₉₁).



328.- Pliegue de tipo "chevron" en
la Serie de Villalba (PC ξ + ξ A)



337.- Pliegue sinclinal de fase 1
en un nivel inferior de la
Cuarcita Armoricana ($0\frac{2}{12}$).



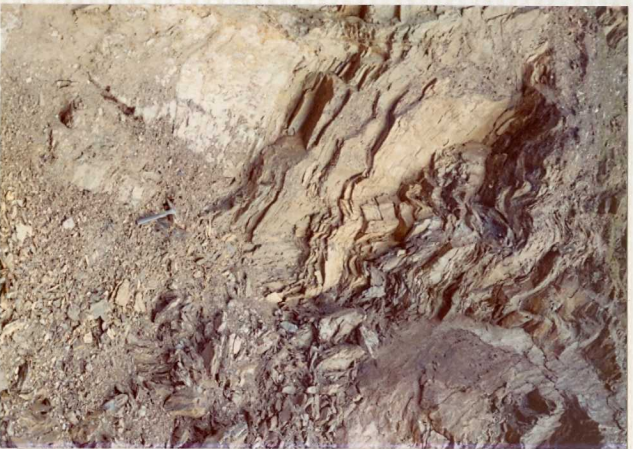
340.- Micropliegues de fase 2 en
las ampelitas del Silúrico
(S).



341.- Idem anterior.



342.- Esquistosidad de crenulación S_2 en las ampetitas silúricas (S).



344. - Microplyegues de tipo "chevron" de fase 2 en pizarras del Silúrico (S).



345.- Micropliegues de fase 1 en las ampelitas silúricas (S). La estratificación está marcada por niveles piritosos.



346.- Micropliegues de la fase 2
en los materiales silúricos
(S) al S de la falla de Vi-
vero.



347.- Idem anterior.



348.- Charnelas de los micropliegues de fase 2.



353.- Micropliegue de fase 1 en₂
la Cuarcita Armoricana (0₂)
Lineación de intersección¹²
muy marcada paralela al eje
del pliegue que cabecea al
SE.



691.- Lineación de estiramiento
marcada por crecimiento sin-
tectónico de minerales meta-
mórficos.



694.- Kink-bands afectando a la S_1 en las pizarras de la Serie¹ de Villalba ($PC\xi+\xi A$). Sobre la S_1 se observa la lineación de intersección L_1 .



697.- Esquistosidad de crenulación poco desarrollada. Observese su distribución irregular sobre el plano de S_1 .



698.- Esquistosidad de crenulación

S₂.



734.- Escarpe de falla marcado topográficamente que separa las granodioritas precoz y tardía.